



GOBIERNO
DE ESPAÑA

MINISTERIO
PARA LA TRANSICIÓN ECOLÓGICA



CONFEDERACIÓN
HIDROGRÁFICA
DEL EBRO

2018

SEGUIMIENTO DE EMBALSES 2018

INFORME FINAL DEL EMBALSE DE LA SOTONERA



**ÁREA DE CALIDAD DE AGUAS
CONFEDERACIÓN HIDROGRÁFICA DEL EBRO**



SEGUIMIENTO DE EMBALSES 2018

PROMOTOR:

CONFEDERACIÓN HIDROGRÁFICA DEL EBRO



DIRECCIÓN DEL PROYECTO:

Vicente Sancho Tello Valls y María José Rodríguez Pérez

EMPRESA CONSULTORA:

Instituto Cavanilles de Biodiversidad y Biología Evolutiva de la Universidad de Valencia Estudi General

EQUIPO DE TRABAJO:

Área de Limnología, dirigida por Dr. Eduardo Vicente Pedrós, Catedrático de Ecología. Director del Estudio.

PRESUPUESTO DE LA ADJUDICACIÓN:

17.343,60 €

CONTENIDO:

INFORME INDIVIDUAL DEL EMBALSE DE LA SOTONERA

AÑO DE EJECUCIÓN:

2018

FECHA ENTREGA:

DICIEMBRE 2018



REFERENCIA IMÁGENES PORTADA:

Panorámica del embalse de La Sotonera desde la presa.

CITA DEL DOCUMENTO: Confederación Hidrográfica del Ebro (2018). Seguimiento de embalses 2018. 186 págs. más anejos.
Disponible en PDF en la web: <http://www.chebro.es>

El presente informe pertenece al Dominio Público en cuanto a los Derechos Patrimoniales recogidos por el Convenio de Berna. Sin embargo, se reconocen los Derechos de los Autores y de la Confederación Hidrográfica del Ebro a preservar la integridad del mismo, las alteraciones o la realización de derivados sin la preceptiva autorización administrativa con fines comerciales, o la cita de la fuente original en cuanto a la infracción por plagio o colusión. A los efectos prevenidos, las autorizaciones para uso no científico del contenido deberán solicitarse a la Confederación Hidrográfica del Ebro.



ÍNDICE

	Página
1. INTRODUCCIÓN.....	7
2. DESCRIPCIÓN GENERAL DEL EMBALSE Y DE LA CUENCA VERTIENTE.....	7
2.1. <i>Ámbito geológico y geográfico</i>	7
2.2. <i>Características morfométricas e hidrológicas</i>	8
2.3. <i>Usos del agua</i>	9
2.4. <i>Registro de zonas protegidas</i>	9
3. TRABAJOS REALIZADOS	10
4. DIAGNÓSTICO DE LA SITUACIÓN ACTUAL.....	11
4.1. <i>Características fisicoquímicas de las aguas</i>	11
4.2. <i>Hidroquímica del embalse</i>	14
4.3. <i>Fitoplancton y concentración de clorofila</i>	15
4.4. <i>Zooplancton</i>	19
5. DIAGNÓSTICO DEL GRADO TRÓFICO	21
6. DIAGNÓSTICO DEL POTENCIAL ECOLÓGICO	22
ANEXO I. REPORTAJE FOTOGRÁFICO	27

ÍNDICE DE FIGURAS Y TABLAS

ÍNDICE DE FIGURAS CORRESPONDIENTES A GRÁFICOS Y FOTOS

Figura 1. Volumen embalsado y salida durante el año hidrológico 2017-2018.	9
Figura 2. Localización de la estación de muestreo en el embalse.....	10
Figura 3. Perfiles verticales de la temperatura y pH.....	11
Figura 4. Perfiles verticales de la extinción luminosa y el oxígeno disuelto.....	12
Figura 5. Perfiles verticales de conductividad y de la materia orgánica disuelta cromofórica	13
Figura 6. Perfiles verticales de clorofila <i>a</i>	16
Figura 7. Vista de la presa del embalse desde el punto de muestreo	28
Figura 8. Vista del punto de acceso al embalse.....	28

ÍNDICE DE TABLAS

Tabla 1. Características morfométricas del embalse de La Sotonera.....	8
Tabla 2. Concentración de los diferentes nutrientes analizados en las muestras integradas.....	14
Tabla 3. Estructura y composición de la comunidad de fitoplancton.....	15
Tabla 4. Composición detallada de la comunidad de fitoplancton.....	16
Tabla 5. Estructura y composición de la comunidad de zooplancton.....	19
Tabla 6. Composición detallada de la comunidad de zooplancton.....	20
Tabla 7. Parámetros indicadores y rangos de estado trófico.	21
Tabla 8. Diagnóstico del estado trófico del embalse de La Sotonera.....	21
Tabla 9. Parámetros y rangos para la determinación del potencial ecológico experimental.	22
Tabla 10. Combinación de los indicadores.....	23
Tabla 11. Diagnóstico del potencial ecológico del embalse de La Sotonera.	23
Tabla 12. Valores de referencia propios del tipo (VR_t) y límites de cambio de clases de potencial ecológico de los indicadores de los elementos de calidad de embalses (RD 817/2015).	24
Tabla 13. Parámetros, rangos del RCE y valores para la determinación del potencial ecológico normativo.	25
Tabla 14. Combinación de los indicadores.....	25
Tabla 15. Diagnóstico del potencial ecológico (PE_{norm}) del embalse de La Sotonera.....	26

1. INTRODUCCIÓN

El presente documento recoge los resultados de los trabajos realizados en el embalse de La Sotonera durante los muestreos de 2018 tanto en verano como en otoño y la interpretación de los mismos, a efectos de proporcionar una referencia que facilite la consulta y explotación de la información obtenida.

En general, se recurre a presentaciones gráficas y sintéticas de la información, acompañadas de un texto conciso, lo que permitirá una consulta ágil y rápida del documento.

En el **Anexo I** se presenta un reportaje fotográfico que refleja el estado del embalse durante el periodo estudiado (verano 2018, correspondiente al año hidrológico 2017-2018).

En apartados sucesivos se comentan los siguientes aspectos:

- Resultados del estudio en el embalse (FASE DE CARACTERIZACIÓN) de todos los aspectos tratados (hidrológicos, fisicoquímicos y biológicos), que culminan en el diagnóstico del grado trófico.
- Clasificación del “Potencial Ecológico experimental”, tras la aplicación de los indicadores biológicos, propuestos en la MEMORIA DEL ESTUDIO, y fisicoquímicos, propuestos en la Directiva Marco del Agua.
- Clasificación del “Potencial Ecológico normativo”, tras la aplicación de los indicadores biológicos y fisicoquímicos propuestos en la Directiva Marco del Agua.

2. DESCRIPCIÓN GENERAL DEL EMBALSE Y DE LA CUENCA VERTIENTE

2.1. Ámbito geológico y geográfico

La presa de La Sotonera se sitúa dentro de los términos municipales de Huesca y Loporzano, en la provincia de Huesca. Regula las aguas del río Sotón, afluente del Gállego. Sin embargo, la principal aportación de aguas es desde este río por el canal que viene desde la presa de Ardisa, y la principal salida el Canal de Monegros.

La cubeta del embalse de La Sotonera se enclava en las litologías que se resumen en la siguiente tabla:

<u>TIPO LITOLOGÍA</u>	<u>ORIGEN</u>
Lutitas con intercalaciones de areniscas	DETRÍTICAS
Gravas, arenas, limos (Depósitos de aluviales, fondos de valle y terrazas bajas en los ríos principales)	DETRÍTICAS
Arcillas, limos y cantos, turba (Depósitos de áreas endorreicas, depósitos lacustres, turberas)	DETRÍTICAS
Gravas, arenas, limos y arcillas (Depósitos de terrazas medias y altas)	DETRÍTICAS
Alternancia de areniscas y lutitas, localmente conglomerados	DETRÍTICAS

2.2. Características morfométricas e hidrológicas

Se trata de un embalse de moderadas dimensiones. La cuenca de drenaje vertiente al embalse de La Sotonera tiene una superficie de 2100 km², aunque las aportaciones principales de aguas hemos comentado que provienen desde la presa de Ardisa por un canal de transferencia.

El embalse tiene una capacidad total de 189,38 hm³. Tiene una profundidad media de 10,3 m, mientras que la profundidad máxima es de 31,55 m.

En la tabla 1 se presentan las características morfométricas del embalse.

Tabla 1. Características morfométricas del embalse de La Sotonera.

Superficie de la cuenca	2100 km ²
Capacidad total N.M.N.	189,38 hm ³
Capacidad útil	181,58 hm ³
Aportación media anual	1000 hm ³
Superficie inundada	216 ha
Cota máximo embalse normal	421,64 msnm

Tipo de clasificación: 10. Monomítico, calcáreo de zonas no húmedas, pertenecientes a ríos de cabecera y tramos altos.

En el momento del muestreo no existe termoclina. El límite inferior de la capa fótica se encuentra a 10,0 metros de profundidad determinado mediante medidor fotoeléctrico, aunque la estimación mediante el Disco de Secchi era de 6,3 m.

El tiempo de residencia hidráulica media en el embalse de La Sotonera para el año hidrológico 2017-2018 fue de 4,54 meses.

En la figura 1 se presentan los valores diarios del volumen embalsado y salida media correspondientes al año hidrológico 2017-2018.

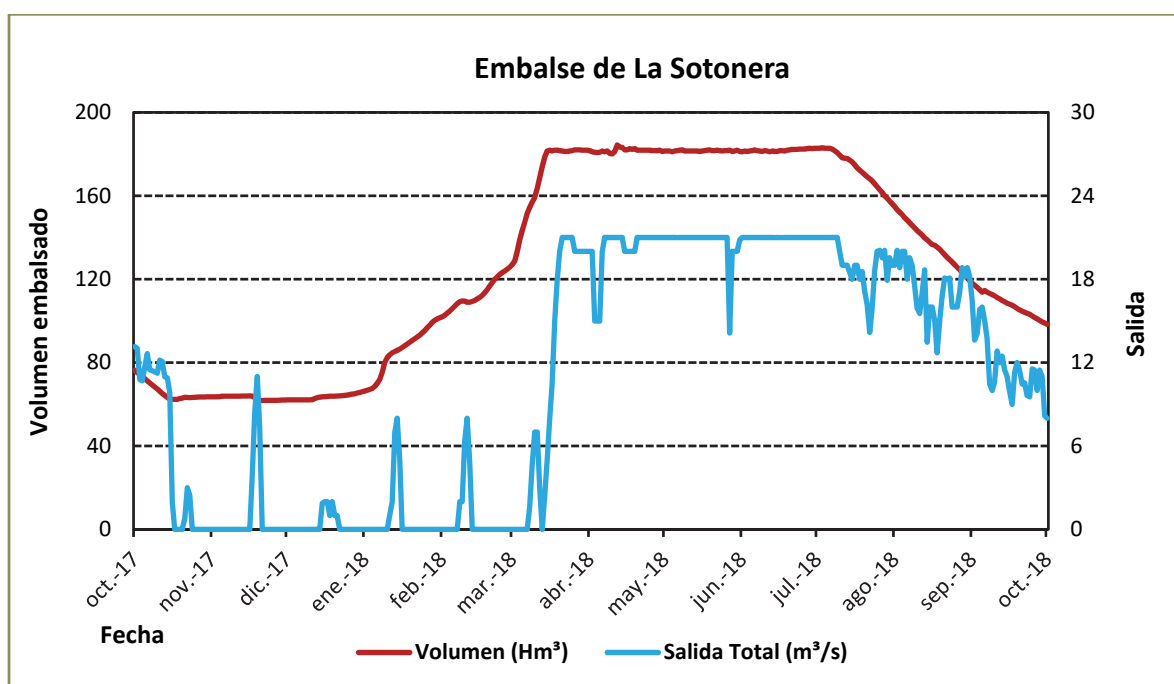


Figura 1. Volumen embalsado y salida durante el año hidrológico 2017-2018.

2.3. Usos del agua

Las aguas del embalse se destinan principalmente al riego, el abastecimiento y también el recreativo.

2.4. Registro de zonas protegidas

El embalse La Sotonera forma parte de las zonas designadas para la captación de agua destinada al consumo humano, según el artículo 7 de la Directiva Marco del Agua.

El embalse de La Sotonera forma parte del Registro de Zonas Protegidas elaborado por la Confederación Hidrográfica del Ebro, en contestación al artículo 6 de la Directiva Marco del Agua, en la categoría de zona de extracción de agua para consumo humano.

3. TRABAJOS REALIZADOS

Para acometer la caracterización del embalse se ha ubicado una estación de muestreo en las inmediaciones de la presa (ver figura 2). Se ha completado una campaña de muestreo el 24 de Julio de 2018, en la que se midieron *in situ* los parámetros fisicoquímicos y la transparencia en la columna de agua, se tomó una muestra de agua integrada y otras puntuales para los análisis químicos y se realizaron muestreos de fitoplancton y zooplancton.

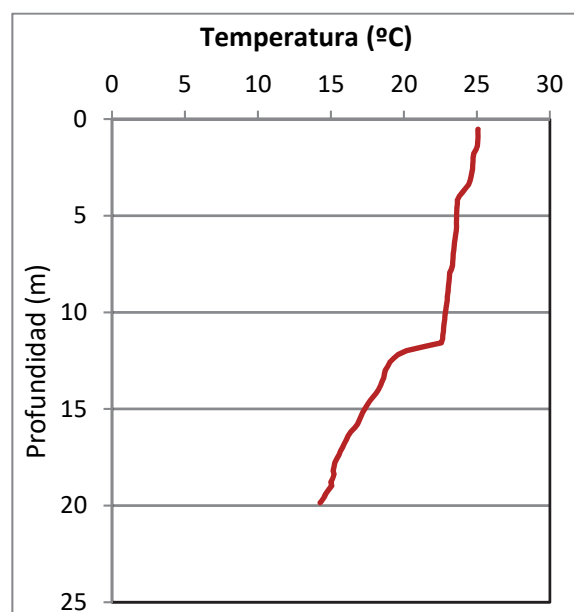


Figura 2. Localización de la estación de muestreo en el embalse.

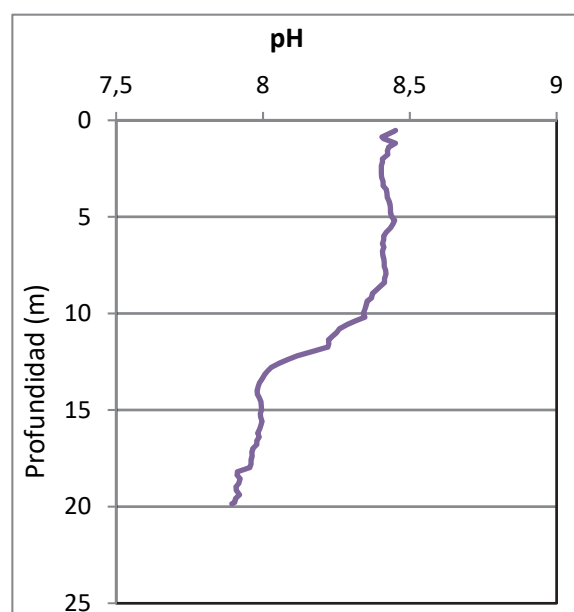
4. DIAGNÓSTICO DE LA SITUACIÓN ACTUAL

4.1. Características fisicoquímicas de las aguas

De los resultados obtenidos se desprenden las siguientes apreciaciones:

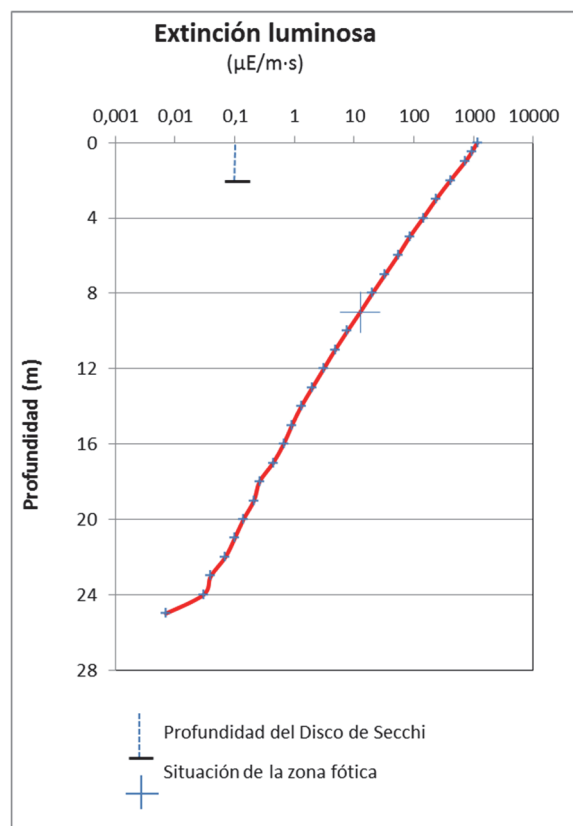


La temperatura del agua oscila entre los 14,87 °C – en el fondo- y los 25,07 °C - máximo registrado en superficie-. En el momento del muestreo (Agosto 2018) no existe termoclina.



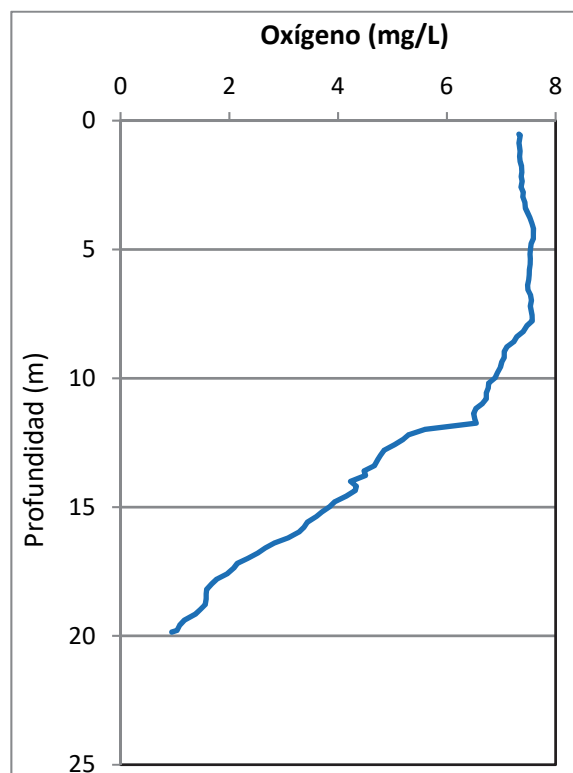
El pH del agua en superficie es 8,45, máximo epilimnético. En el fondo del embalse el valor del pH es de 7,91.

Figura 3. Perfiles verticales de la temperatura y el pH.



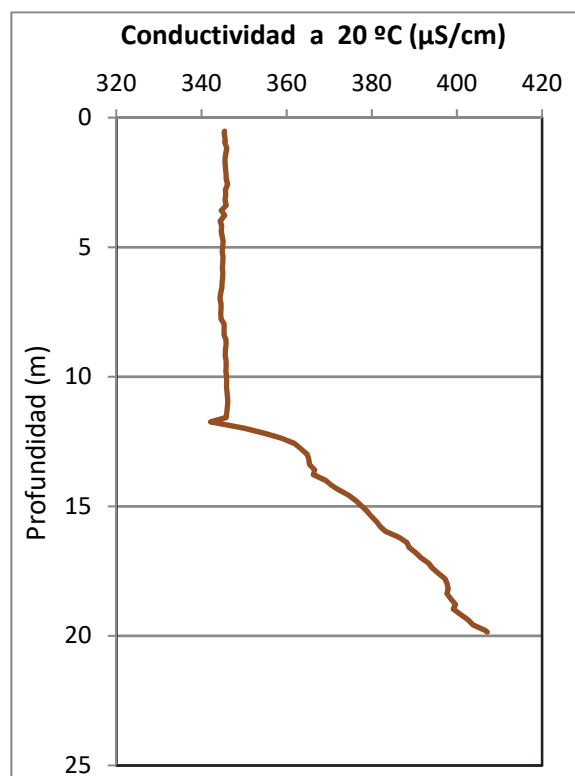
La transparencia del agua registrada en la lectura de disco de Secchi (DS) es de 2,5 m, lo que supone una profundidad de la capa fótica de 6,3 metros. Muy inferior a la capa fótica determinada con medidor fotoeléctrico, 10,0 m de profundidad.

La turbidez media de la zona eufótica (muestra integrada de 10 m de profundidad) fue de 2,70 UAF.

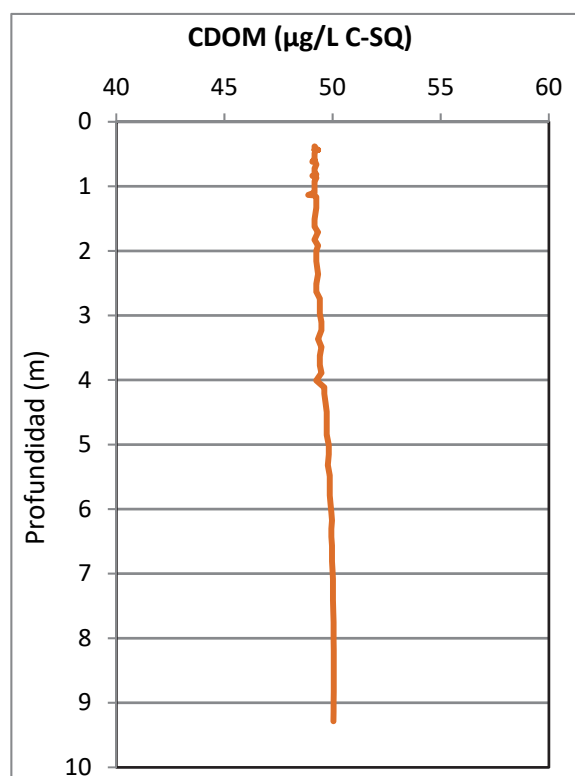


Las condiciones de oxigenación de la columna de agua alcanzan en el muestreo una concentración media de 5,55 mg/L. Se han detectado condiciones anóxicas (<2 mg O_2/L) a partir de los 17 metros de profundidad.

Figura 4. Perfiles verticales de la extinción luminosa y el oxígeno disuelto.



La conductividad del agua es de 345 $\mu\text{S}/\text{cm}$ en la superficie y de 403 $\mu\text{S}/\text{cm}$ en el fondo del embalse, el valor máximo del perfil.



El perfil de CDOM es muy homogéneo, siendo la concentración de 49 QSE (equivalentes de sulfato de quinina) en la superficie y de 50 QSE en el fondo, valor máximo de CDOM registrado.

Figura 5. Perfiles verticales de conductividad y de la materia orgánica disuelta cromofórica.

4.2. Hidroquímica del embalse

De los resultados analíticos obtenidos en las campañas de 2018 en las muestras integradas, se desprenden los resultados de la tabla 2.

Tabla 2. Concentración de los diferentes nutrientes -analizados en las muestras integradas.

PARÁMETRO	UNIDAD	VALOR
PROFUNDIDAD CAPA FÓTICA	m	10,0
AMONIO	mg NH ₄ /L	0,010
FÓSFORO TOTAL	µg P/L	12,16
FÓSFORO SOLUBLE	µg P/L	0,33
NIO (NO ₃ + NO ₂)	mg N/L	0,49
NITRÓGENO TOTAL	mg N/L	0,66
SÍLICE	mg SiO ₂ /L	3,48
ALCALINIDAD	meq/L	2,28

4.3. Fitoplancton y concentración de clorofila

En el análisis de fitoplancton se han identificado un total de 37 especies, distribuidas en los siguientes grupos taxonómicos:

BACILLARIOPHYCEAE	7
CHRYSTOPHYCEAE	4
XANTHOPHYCEAE	1
CHLOROPHYTA	12
ZYGNEMATOPHYCEAE	1
CYANOBACTERIA	1
CRYPTOPHYCEAE	6
DINOPHYCEAE	4
EUGLENOPHYCEAE	1

La estructura y composición de la comunidad de fitoplancton se resume en la tabla 3:

Tabla 3. Estructura y composición de la comunidad de fitoplancton.

PARÁMETRO	UNIDAD	VALORES
Nº CÉLULAS TOTALES	nº cél./ml	1362,43
BIOVOLUMEN TOTAL	µm ³ /ml	407449
Diversidad Shannon-Wiener		3,79
CLASE PREDOMINANTE (DENSIDAD)		Cryptophyceae
Nº células/ml		358,99
ESPECIE PREDOMINANTE (DENSIDAD)		<i>Aphanocapsa</i> sp.
Nº células/ml		354,27
CLASE PREDOMINANTE (BIOVOLUMEN)		Cryptophyceae
µm ³ /ml		147359
ESPECIE PREDOMINANTE (BIOVOLUMEN)		<i>Cryptomonas ovata</i>
µm ³ /ml		60040

La concentración de clorofila fue de 3,44 µg/L en la muestra integrada, cuya profundidad se ha señalado con una línea roja en la figura 6.

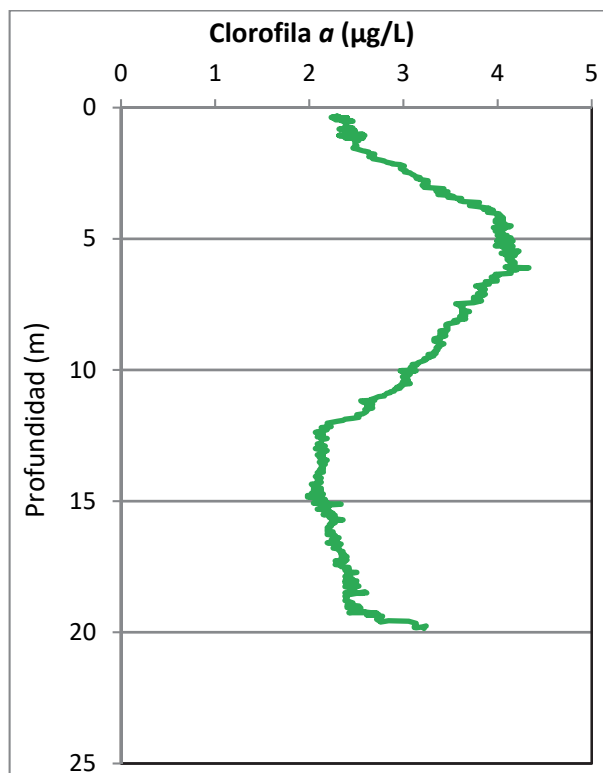


Figura 6. Perfiles verticales de clorofila a.

La composición de la población fitoplanctónica de la muestra integrada de la zona fótica indicando su abundancia y biovolumen, y la densidad cualitativa de la muestra integrada de fitoplancton del muestreo vertical con red de plancton, se muestran en la tabla 4:

Tabla 4. Composición detallada de la comunidad de fitoplancton.

COD_EMB_LW	COMPOSICIÓN	ABUNDANCIA	BIOVOLUMEN	CUALITATIVO
	FITOPLANCTON	cél./ml	µm ³ /ml	(1 al 5)
	BACILLARIOPHYCEAE/CENTRALES/			
CYCLOCEL0	<i>Cyclotella ocellata</i> (=Lindavia ocellata)	35,43	5.453,51	1
CYCLRADI0	<i>Cyclotella radiosa</i> (=Lindavia radiosa)	2,36	4.807,99	
	BACILLARIOPHYCEAE /PENNALES/			
ACHNMINU0	<i>Achnanthyidium minutissimum</i> (=Achnanthes minutissima)	2,36	59,04	
ASTEFORM0	<i>Asterionella formosa</i>	44,87	25.443,43	3
ASTFOACA0	<i>Asterionella formosa</i> var. <i>acaroides</i>			1
FRAGIGEN0	<i>Fragilaria</i> sp.	2,76	1.061,18	
FRAGTENE0	<i>Fragilaria tenera</i>	4,13	2.129,25	
NITZPALE0	<i>Nitzschia palea</i>			1
FRAULACU2	<i>Ulnaria acus</i> (=Fragilaria ulna var. <i>acus</i>)	1,38	4.379,40	1



COD_EMB_LW	COMPOSICIÓN	ABUNDANCIA	BIOVOLUMEN	CUALITATIVO
	FITOPLANCTON	cél./ml	µm3/ml	(1 al 5)
	CHRYSOPHYCEAE			
CHRYOGEN0	<i>Chrysochromulina</i> sp.	2,36	75,58	
DINOCREN0	<i>Dinobryon crenulatum</i>	35,43	9.089,19	
DINODIVE0	<i>Dinobryon divergens</i>	47,24	8.229,73	3
KEPHPLAN0	<i>Kephyrion planktonicum</i>	2,36	118,72	
	XANTHOPHYCEAE			
TRACLENT0	<i>Trachydiscus lenticularis</i>	99,19	9.348,88	2
	CHLOROPHYTA			
CARTEGEN0	<i>Carteria</i> sp.	7,09	18.226,60	
COERECUB0	<i>Coelastrum reticulatum</i> var. <i>cubanum</i>			1
COENHIND0	<i>Coenochloris hindakii</i>	118,09	3.957,20	
CRUCTETRO	<i>Crucigenia tetrapedia</i>	9,45	680,19	
CHLAMGEN0	<i>Chlamydomonas</i> sp.	4,72	5.433,73	
GOLEKGEN0	<i>Golenkinia</i> sp.	23,62	12.366,24	
NEPHSUBS0	<i>Nephrochlamys subsolitaria</i>	4,72	139,12	
OOCYLACU0	<i>Oocystis lacustris</i>	11,81	692,51	
OOCYMARS0	<i>Oocystis marssonii</i>			1
PEDIBORY0	<i>Pediastrum boryanum</i>			1
PHACLENT0	<i>Phacotus lenticularis</i>	94,47	23.743,18	
SCENARMA0	<i>Scenedesmus armatus</i> (= <i>Desmodesmus armatus</i>)	18,89	712,30	
SCENLINE0	<i>Scenedesmus ellipticus</i> (= <i>Scenedesmus linearis</i>)	18,89	1.582,88	
SPHAPLAN0	<i>Sphaerocystis planctonica</i>	18,89	2.136,89	2
TETRKOMA0	<i>Tetrastrum komarekii</i>	18,89	1.360,38	
	ZYGNEMATOPHYCEAE			
COSMLAEV0	<i>Cosmarium laeve</i>	0,46	363,69	
	CYANOBACTERIA			
APHASGEN0	<i>Aphanocapsa</i> sp.	354,27	185,49	
CHRYMINO0	<i>Chrysochloris minor</i> (= <i>Anabaena bergii-minor</i>)			1
MERIELEG0	<i>Merismopedia elegans</i>			1
	CRYPTOPHYCEAE			
CRYPERSO0	<i>Cryptomonas erosa</i>	18,89	45.162,38	
CRYPMARS0	<i>Cryptomonas marsonii</i>	9,45	5.381,79	
CRYPVAT0	<i>Cryptomonas ovata</i>	16,53	60.040,57	
CRYPTGEN0	<i>Cryptomonas</i> sp.	59,04	18.178,37	
PLAGLACU0	<i>Plagioselmis</i> (= <i>Rhodomonas</i>) <i>lacustris</i>	231,45	17.673,42	1
PLAGNANN0	<i>Plagioselmis nannoplanctica</i> (= <i>Rhodomonas lacustris</i> var. <i>nannoplanctica</i>)	23,62	923,35	
	DINOPHYCEAE			
CERAHIRU0	<i>Ceratium hirundinella</i>			1
GYMNUBER0	<i>Gymnodinium uberrimum</i>	2,30	30.403,45	
GYMNHV0	<i>Gymnodinium</i> sp.			1
PERIELPA0	<i>Peridiniopsis elpatiewskyi</i>	2,76	33.107,05	
PERIACIC0	<i>Peridinium aciculiferum</i>	5,51	30.307,24	



COD_EMB_LW	COMPOSICIÓN	ABUNDANCIA	BIOVOLUMEN	CUALITATIVO
	FITOPLANCTON	cél./ml	µm ³ /ml	(1 al 5)
PERIUMBO0	<i>Peridinium umbonatum</i> (=Parvodinium umbonatum)	6,89	16.365,91	
PERUMDEF2	<i>Peridinium umbonatum</i> var. <i>deflandrei</i>			1
	EUGLENOPHYCEAE			
EUGLEGEN0	<i>Euglena</i> sp.			1
EUGLVIRI0	<i>Euglena viridis</i>	1,84	8.130,04	1
PHACTORT0	<i>Phacus tortus</i>			1
	TOTALES BACILLARIOPHYCEAE	93,29	43.333,81	
	TOTALES CHRYSOPHYCEAE	87,39	17.513,21	
	TOTALES XANTHOPHYCEAE	99,19	9.348,88	
	TOTALES CHLOROPHYTA	349,54	71.031,21	
	TOTALES ZYGNEMATOPHYCEAE	0,46	363,69	
	TOTALES CYANOBACTERIA	354,27	185,49	
	TOTALES CRYPTOPHYCEAE	358,99	147.359,88	
	TOTALES DINOPHYCEAE	17,46	110.183,66	
	TOTALES EUGLENOPHYCEAE	1,84	8.130,04	
	TOTALES ALGAS	1.362,43	407.449,87	

Nota: Entre paréntesis se cita el anterior nombre de la especie.

Clases de abundancia	% de presencia
1	<9
2	10-24
3	25-60
4	61-99
5	>99

4.4. Zooplancton

En el análisis de zooplancton de las muestras del embalse de La Sotonera se han identificado un total de 13 especies, distribuidas en los siguientes grupos taxonómicos:

- Cladocera 2
- Copepoda 4
- Rotifera 6
- Otros 1

La estructura y composición de la comunidad de zooplancton se resume en la tabla 5:

Tabla 5. Estructura y composición de la comunidad de zooplancton.

PARÁMETRO	UNIDAD	VALORES
PROFUNDIDAD	m	13,0
DENSIDAD TOTAL	individuos/L	219,62
BIOMASA TOTAL	µg/L	77,11
Diversidad Shannon-Wiener		2,17
CLASE PREDOMINANTE (DENSIDAD)		Otros
individuos/L		103,08
ESPECIE PREDOMINANTE (DENSIDAD)		<i>Dreissena polymorpha</i>
individuos/L		103,08
CLASE PREDOMINANTE (BIOMASA)		Otros
µg/L		43,29
ESPECIE PREDOMINANTE (BIOMASA)		<i>Dreissena polymorpha</i>
µg/L		43,29
COLUMNA AGUA INTEGRADA (red vertical)		0 - 19 m
CLADÓCEROS: 1,47 %	COPÉPODOS: 20,02 %	ROTÍFEROS: 66,08 %

La composición detallada de la población zooplanctónica presente en la muestra cuantitativa de zooplancton indicando la densidad y biomasa, y el porcentaje de las especies presentes en la muestra integrada de la red vertical, se muestran en la tabla 6:

Tabla 6. Composición detallada de la comunidad de zooplancton.

CÓDIGO	COMPOSICIÓN	ABUNDANCIA	BIOMASA	PORCENTAJE
TAXÓN	ZOOPLANCTON	Ind./L	mg/L	(1 al 5)
	CLADÓCEROS			
CERIPULC0	<i>Ceriodaphnia pulchella</i>	0,19	0,23	1
DAPHGALE0	<i>Daphnia galeata</i>	0,19	0,65	1
DIAPMONG0	<i>Diaphanosoma mongolianum</i>			1
	COPÉPODOS			
ACANAMER0	<i>Acanthocyclops americanus</i>	3,46	11,10	1
NEOLALLU0	<i>Neolovenula alluaudi</i>	3,08	4,77	1
CYCLOPFAM	Fam. Cyclopidae	63,08	13,62	2
HARPACORD	Harpacticoide	0,19	0,12	
	ROTÍFEROS			
ASPLPRIO0	<i>Asplanchna priodonta</i>	0,19	0,14	1
KERACCOCH0	<i>Keratella cochlearis</i>	6,15	0,31	1
KERCOTEC1	<i>Keratella cochlearis tecta</i>			1
POLYDOLI0	<i>Polyarthra dolichoptera</i>	12,31	0,63	3
POLYEURI0	<i>Polyarthra euriptera</i>			1
POLYMAJO0	<i>Polyarthra major</i>	10,77	1,40	1
SYNCKITIO	<i>Synchaeta kitina</i>	3,08	0,15	1
SYNCOBLO0	<i>Synchaeta oblonga</i>	13,85	0,69	1
SYNCSTYLO	<i>Synchaeta stylata</i>			1
	OTROS			
DREIPOLY0	<i>Dreissena polymorpha</i>	103,08	43,29	2
	Total Cladóceros	0,38	0,88	
	Total Copépodos	69,81	29,60	
	Total Rotíferos	46,35	3,33	
	Total Otros	103,08	43,29	
	Total	219,62	77,10	

Nota: Entre paréntesis se cita el anterior nombre de la especie.

Clases de abundancia	% de presencia
1	<9
2	10-24
3	25-60
4	61-99

5	>99
---	-----

5. DIAGNÓSTICO DEL GRADO TRÓFICO

Se han considerado los indicadores especificados en la tabla 7 para los valores medios en el embalse, estableciéndose el estado trófico global del embalse según la metodología descrita en la sección 5 de la MEMORIA DEL ESTUDIO.

Tabla 7. Parámetros indicadores y rangos de estado trófico.

Parámetros Estado Trófico	Ultraoligotrófico	Oligotrófico	Mesotrófico	Eutrófico	Hipereutrófico
Concentración P ($\mu\text{g P/L}$)	0-4	4-10	10-35	35-100	>100
Disco de Secchi (m)	>6	6-3	3-1,5	1,5-0,7	<0,7
Clorofila <i>a</i> ($\mu\text{g/L}$) epilimnion	0-1	1-2,5	2,5-8	8,0-25	>25
Densidad algal (cel/ml)	<100	100-1000	1000-10000	10000-100000	>100000
VALOR PROMEDIO FINAL	< 1,8	1,8 – 2,6	2,6 – 3,4	3,4 – 4,2	> 4,2

En la tabla 8 se incluye el estado trófico indicado por cada uno de los parámetros, así como la catalogación de la masa de agua según la valoración de este estado trófico final para cada campaña de muestreo.

Tabla 8. Diagnóstico del estado trófico del embalse de La Sotonera.

INDICADOR	VALOR	ESTADO TRÓFICO
P TOTAL	12,16	Mesotrófico
CLOROFILA <i>a</i>	3,44	Mesotrófico
DISCO SECCHI	2,50	Mesotrófico
DENSIDAD ALGAL	1362	Mesotrófico
ESTADO TRÓFICO FINAL	3,00	MESOTRÓFICO

Atendiendo a todos los criterios seleccionados, (fósforo total (PT), concentración de clorofila *a* transparencia y densidad algal), clasifican el embalse como mesotrófico. Combinando todos los indicadores, el estado trófico final del embalse de LA SOTONERA ha resultado ser **MESOTRÓFICO**.

6. DIAGNÓSTICO DEL POTENCIAL ECOLÓGICO

a) Aproximación experimental (PE_{exp})

Se han considerado los indicadores especificados en la tabla 9, estableciéndose el potencial ecológico del embalse según la metodología descrita en la sección 6.3, apartado a) de la MEMORIA DEL ESTUDIO.

Tabla 9. Parámetros y rangos para la determinación del potencial ecológico experimental.

Indicador	Elementos	Parámetros	Bueno o superior	Moderado	Deficiente	Malo	
Biológico	Fitoplancton	Densidad algal (cel/ml)	< 10 ³	10 ³ -10 ⁴	10 ⁴ -10 ⁵	>10 ⁵	
		Biomasa algal, Clorofila <i>a</i> (µg/L)	< 2,5	2,5-8	8,0-25	>25	
		Biovolumen algal (mm ³ /L)	< 0,5	0,5-2	2-8	>8	
		<i>Phytoplankton Assemblage Index (Q)</i>	> 3	2-3	1-2	<1	
		<i>Trophic Index (TI)</i>	< 2,79	2,79-3,52	3,52-4,25	>4,25	
		<i>Phytoplankton Trophic Index (PTI)</i>	> 3,4	2,6-3,4	1,8-2,6	<1,8	
	<i>Phytoplankton Reservoir Trophic Index (PRTI)</i>	< 6,6	6,6-9,4	9,4-12,2	>12,2		
Zooplancton	<i>Zooplankton Reservoir Trophic Index (ZRTI)</i>	< 6,6	6,6-9,4	9,4-12,2	>12,2		
INDICADOR BIOLÓGICO (1)			< 2,6	2,6 - 3,4	3,4 - 4,2	> 4,2	
Indicador	Elementos	Parámetros	Muy bueno	Bueno	Moderado	Deficiente	Malo
Fisicoquímico	Transparencia	Disco de Secchi (m)	>6	3-6	1,5 -3	0,7 -1,5	<0,7
	Oxigenación	Concentración O ₂ (mg O ₂ /L)	>8	8-6	6-4	4-2	<2
	Nutrientes	Concentración de PT (µg P/L)	0-4	4-10	10-35	35-100	>100
INDICADOR FISICOQUÍMICO (2)			Muy bueno	Bueno	Moderado		
			< 1,6	1,6 - 2,4	> 2,4		

(1) La valoración del indicador biológico se obtiene asignando la calificación del elemento de menor puntuación (fitoplancton o zooplancton) o peor calidad, según la metodología *one out, all out*.

(2) La valoración del indicador fisicoquímico se obtiene asignando la calificación del elemento de menor puntuación o peor calidad, según la metodología *one out, all out*.

La combinación de los dos indicadores, fisicoquímico y biológico, para la obtención del potencial ecológico experimental final sigue el esquema de decisiones indicado en la tabla 10:

Tabla 10. Combinación de los indicadores.

Indicador Biológico	Indicador Fisicoquímico	Potencial Ecológico Experimental
Bueno o superior	Muy bueno	Bueno o superior
Bueno o superior	Bueno	Bueno o superior
Bueno o superior	Moderado	Moderado
Moderado	Indistinto	Moderado
Deficiente	Indistinto	Deficiente
Malo	Indistinto	Malo

En la tabla 11 se incluye el potencial indicado por cada uno de los parámetros e indicadores, así como la catalogación de la masa de agua según el potencial ecológico final.

Tabla 11. Diagnóstico del potencial ecológico del embalse de La Sotonera.

Indicador	Elementos	Parámetros	Valor	Potencial
Biológico	Fitoplancton	Densidad algal (cel/ml)	1362	Moderado
		Clorofila <i>a</i> (µg/L)	3,44	Moderado
		Biovolumen algal (mm ³ /L)	0,41	Bueno o superior
		<i>Phytoplankton Assemblage Index (Q)</i>	2,97	Moderado
		<i>Phytoplankton Trophic Index (PTI)</i>	3,52	Bueno o superior
		<i>Trophic Index (TI)</i>	2,51	Bueno o superior
		Zooplancton	<i>Zooplankton Reservoir Trophic Index (ZRTI)</i>	8,80
INDICADOR BIOLÓGICO			3	MODERADO
Fisicoquímico	Transparencia	Disco de Secchi (m)	2,50	Moderado
	Oxigenación	O ₂ hipolimnética (mg O ₂ /L)	5,55	Moderado
	Nutrientes	Concentración de PT (µg P/L)	12,16	Moderado
INDICADOR FISICOQUÍMICO			3	MODERADO
POTENCIAL ECOLÓGICO P_{Exp}				MODERADO

b) Aproximación normativa (*PE_{norm}*)

Se han considerado los indicadores, los valores de referencia y los límites de clase B⁺/M (Bueno o superior/Moderado), M/D (Moderado/Deficiente) y D/M (Deficiente/Malo), así como sus ratios de calidad ecológica (RCE), especificados en las tablas 12 y 13, estableciéndose el potencial ecológico del embalse según la metodología descrita en la sección 6.3, apartado b) de la MEMORIA DEL ESTUDIO.

Tabla 12. Valores de referencia propios del tipo (VR_t) y límites de cambio de clase de potencial ecológico de los indicadores de los elementos de calidad de embalses (RD 817/2015).

Tipo	Elemento	Parámetro	Indicador	VR _t	B ⁺ /M (RCE)	M/D (RCE)	D/M (RCE)
Tipo 1	Fitoplancton	Biomasa	Clorofila a mg/m ³	2,00	0,211	0,14	0,07
			Biovolumen mm ³ /L	0,36	0,189	0,126	0,063
		Composición	Índice de Catalán (IGA)	0,10	0,974	0,649	0,325
			Porcentaje de cianobacterias	0,00	0,908	0,607	0,303
Tipo 7	Fitoplancton	Biomasa	Clorofila a mg/m ³	2,60	0,433	0,287	0,143
			Biovolumen mm ³ /L	0,76	0,362	0,24	0,12
		Composición	Índice de Catalán (IGA)	0,61	0,982	0,655	0,327
			Porcentaje de cianobacterias	0,00	0,715	0,48	0,24
Tipo 9	Fitoplancton	Biomasa	Clorofila a mg/m ³	2,60	0,433	0,287	0,143
			Biovolumen mm ³ /L	0,76	0,362	0,24	0,12
		Composición	Índice de Catalán (IGA)	0,61	0,982	0,655	0,327
			Porcentaje de cianobacterias	0,00	0,715	0,48	0,24
Tipo 10	Fitoplancton	Biomasa	Clorofila a mg/m ³	2,60	0,433	0,287	0,143
			Biovolumen mm ³ /L	0,76	0,362	0,24	0,12
		Composición	Índice de Catalán (IGA)	0,61	0,982	0,655	0,327
			Porcentaje de cianobacterias	0,00	0,715	0,48	0,24
Tipo 11	Fitoplancton	Biomasa	Clorofila a mg/m ³	2,60	0,433	0,287	0,143
			Biovolumen mm ³ /L	0,76	0,362	0,24	0,12
		Composición	Índice de Catalán (IGA)	0,61	0,982	0,655	0,327
			Porcentaje de cianobacterias	0,00	0,715	0,48	0,24
Tipo 12	Fitoplancton	Biomasa	Clorofila a mg/m ³	2,40	0,195	0,13	0,065
			Biovolumen mm ³ /L	0,63	0,175	0,117	0,058
		Composición	Índice de Catalán (IGA)	1,50	0,929	0,619	0,31
			Porcentaje de cianobacterias	0,10	0,686	0,457	0,229
Tipo 13	Fitoplancton	Biomasa	Clorofila a mg/m ³	2,10	0,304	0,203	0,101
			Biovolumen mm ³ /L	0,43	0,261	0,174	0,087
		Composición	Índice de Catalán (IGA)	1,10	0,979	0,653	0,326
			Porcentaje de cianobacterias	0,00	0,931	0,621	0,31

Tabla 13. Parámetros, rangos del RCE y valores para la determinación del potencial ecológico normativo.

			RANGOS DEL RCE				
Indicador	Elementos	Parámetros	Bueno o superior	Moderado	Deficiente	Malo	
Biológico	Fitoplancton	Clorofila a (µg/L)	≥ 0,433	0,432 – 0,287	0,286 – 0,143	< 0,143	
		Biovolumen algal (mm ³ /L)	≥ 0,362	0,361 – 0,24	0,23 – 0,12	< 0,12	
		Índice de Catalán (IGA)	≥ 0,982	0,981 – 0,655	0,654 – 0,327	< 0,327	
		Porcentaje de cianobacterias	≥ 0,715	0,714 – 0,48	0,47 – 0,24	< 0,24	
			Bueno o superior	Moderado	Deficiente	Malo	
INDICADOR BIOLÓGICO			> 0,6	0,4-0,6	0,2-0,4	< 0,2	
			RANGOS DE VALORES				
Indicador	Elementos	Parámetros	Muy bueno	Bueno	Moderado	Deficiente	Malo
Fisicoquímico	Transparencia	Disco de Secchi (m)	>6	3-6	1, 5 -3	0, 7 -1,5	<0, 7
	Oxigenación	O ₂ hipolimnética (mg O ₂ /L)	>8	8-6	6-4	4-2	<2
	Nutrientes	Concentración de PT (µg P/L)	0-4	4-10	10-35	35-100	>100
			Muy bueno	Bueno	Moderado		
INDICADOR FISICOQUÍMICO			< 1,6	1,6 – 2,4	> 2,4		

La combinación de los dos indicadores, fisicoquímico y biológico, para la obtención del potencial ecológico normativo final sigue el esquema de decisiones indicado en la tabla 14.

Tabla 14. Combinación de los indicadores.

Indicador Biológico	Indicador Fisicoquímico	Potencial Ecológico Experimental
Bueno o superior	Muy bueno	Bueno o superior
Bueno o superior	Bueno	Bueno o superior
Bueno o superior	Moderado	Moderado
Moderado	Indistinto	Moderado
Deficiente	Indistinto	Deficiente
Malo	Indistinto	Malo

En la tabla 15 se incluye el potencial indicado por cada uno de los parámetros, así como la catalogación de la masa de agua según el potencial ecológico final (*PE_{norm}*) tras pasar el filtro del indicador fisicoquímico.

Tabla 15. Diagnóstico del potencial ecológico (*PE_{norm}*) del embalse de La Sotonera.

Indicador	Elementos	Parámetro	Indicador	Valor	RCE	RCET	<i>PE_{norm}</i>
Biológico	Fitoplancton	Biomasa	Clorofila <i>a</i> (µg/L)	3,44	0,76	0,83	Bueno o superior
			Biovolumen algal (mm ³ /L)	0,41	1,87	0,54	Bueno o superior
			Media			1,18	
		Composición	<i>Índice de Catalán (IGA)</i>	0,58	1,000	1,00	Bueno o superior
			<i>Porcentaje de cianobacterias</i>	0,00	1,00	1,00	Bueno o superior
			Media			1,00	
Media global						1,09	
INDICADOR BIOLÓGICO				2			BUENO O SUPERIOR
Indicador	Elementos	Indicador	Valor			<i>PE_{norm}</i>	
Fisicoquímico	Transparencia	Disco de Secchi (m)	2,50			Moderado	
	Oxigenación	O ₂ hipolimnética (mg O ₂ /L)	5,55			Moderado	
	Nutrientes	Concentración de PT (µg P/L)	12,16			Moderado	
INDICADOR FISICOQUÍMICO				3			MODERADO
POTENCIAL ECOLÓGICO <i>PE_{norm}</i>				MODERADO			



ANEXO I. REPORTAJE FOTOGRÁFICO



Figura 7. Vista de la presa del embalse desde el punto de muestreo



Figura 8. Vista del punto de acceso